

1 2 3 4 5 6 7 8 9 10 11

Évaluation AERES, Janvier 2014

JORIS VAN DER HOEVEN

AMIB. **VARNA**, GENRGENS, ESBTL, DIMoVo, VORSCORE

CRYPTO. MPC, MPFRCX, ECPP, SEA, TIFA, **CADO-NFS**, **MATHEMAGIX**,
DECODING

MAX. **MATHEMAGIX**, **TEX**_{MACS}

PARSIFAL. **ABELLA**, BEDWYR, PROFOUND, TLAPS, PSYCHE

SYSMO. **ALTARICA**, **XFTA**

TYPICAL. COQ, DEDUCTI, SSREFLECT

1 2 3 4 5 6 7 8 9 10 11

But ANR CADO. Fournir une implantation de référence complète de l'algorithme de factorisation d'entiers NFS (crible algébrique), qui permet de tester des idées nouvelles (sélection polynomiale).

Applications. Évaluation de la sécurité de RSA ; tables de nombres ; séquences aliquotes ; etc. Base pour les calculs de logarithme discret (ANR CATREL).

Partenaires. EPC CAMEL (LORIA, P. Gaudry), 10+ développeurs; coding sprints, workshops, etc.

Utilisateurs. Cryptologique (RSA-768, RSA-704), factorisateurs au long cours (B_{400}), hackers (Z. Harris : clef trop courte dans Google, forge un email signé de Sergey Brin pour Larry Page).

Détails techniques. C/C++ basé sur GMP ; version pour calculs distribués (modèle client/serveur); LGPL 2.1 (ou supérieure); <http://cado-nfs.gforge.inria.fr>, version 2.0 (18/11/2013).

Performances. Sur un coeur de PC typique: 120 chiffres décimaux en 3 à 4 jours ; 140 en 1 mois ; 160 en 6 à 7 mois.

1 2 3 4 5 6 7 8 9 10 11

But ANR CADO. Fournir une implantation de référence complète de l'algorithme de factorisation d'entiers NFS (crible algébrique), qui permet de tester des idées nouvelles (sélection polynomiale).

Applications. Évaluation de la sécurité de RSA ; tables de nombres ; séquences aliquotes ; etc. Base pour les calculs de logarithme discret (ANR CATREL).

Partenaires. EPC CAMEL (LORIA, P. Gaudry), 10+ développeurs; coding sprints, workshops, etc.

Utilisateurs. Cryptologique (RSA₇₆₈, RSA₇₀₄), factorisateurs au long cours (B_{400}), hackers (Z. Harris : clef trop courte dans Google, forge un email signé de Sergey Brin pour Larry Page).

Détails techniques. C/C++ basé sur GMP ; version pour calculs distribués (modèle client/serveur); LGPL 2.1 (ou supérieure); <http://cado-nfs.gforge.inria.fr>, version 2.0 (18/11/2013).

Performances. Sur un coeur de PC typique: 120 chiffres décimaux en 3 à 4 jours ; 140 en 1 mois ; 160 en 6 à 7 mois.



But. Un système de preuve automatique.

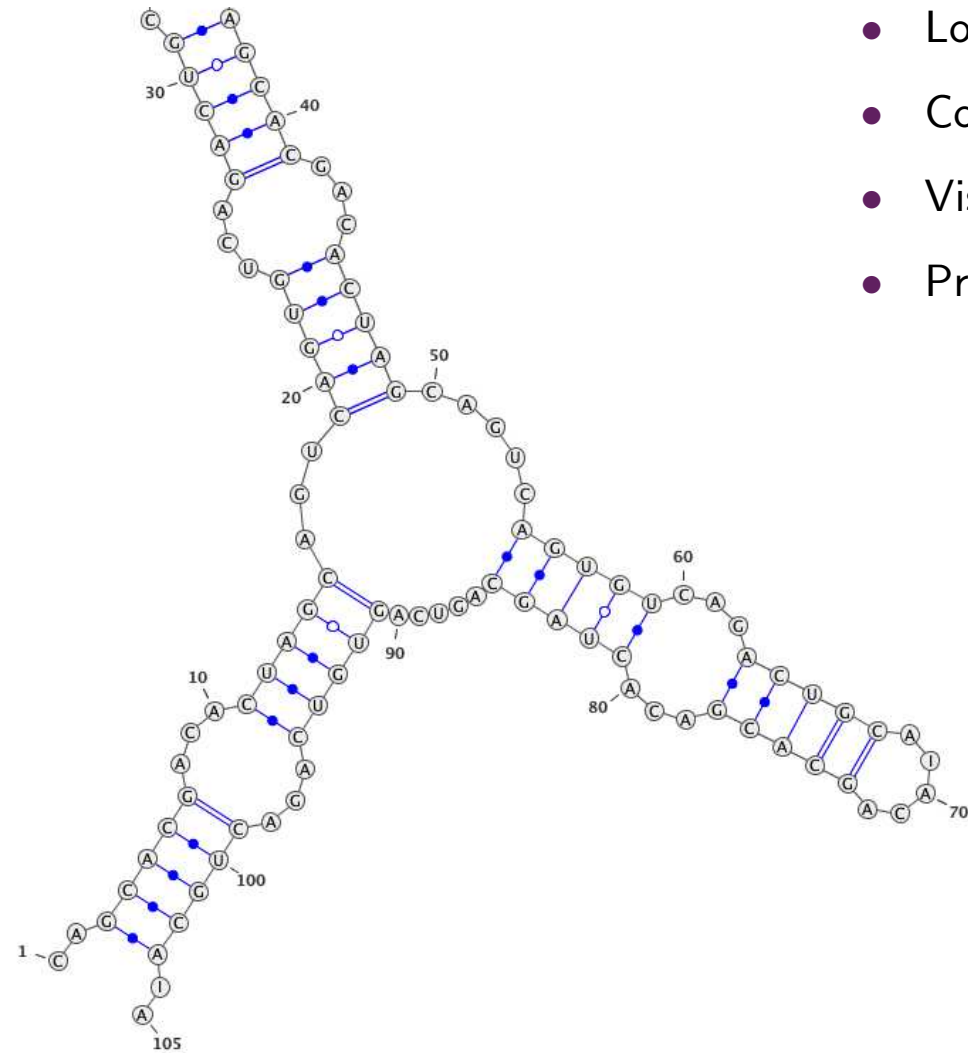
Auteurs. Commencé par A. GACEK (PhD Univ. of Minnesota, PostDoc LIX), et développements en cours au LIX.

Spécificités. Différent d'autres systèmes (comme COQ) : basé sur des relations (au lieu de fonctions), et permettant l'utilisation de λ -termes pour le syntaxe.

Points forts. Traitement immédiat et naturel de liaisons et de raisonnements inductifs et co-inductifs.

Applications. Le défi POPLMark et la meta-théorie du λ -calcul et du π -calcul.

1 2 3 4 5 6 7 8 9 10 11



- Logiciel de visualisation de structures ARN
- Composant webservers/applications
- Visualisation interactive
- Production d'illustrations

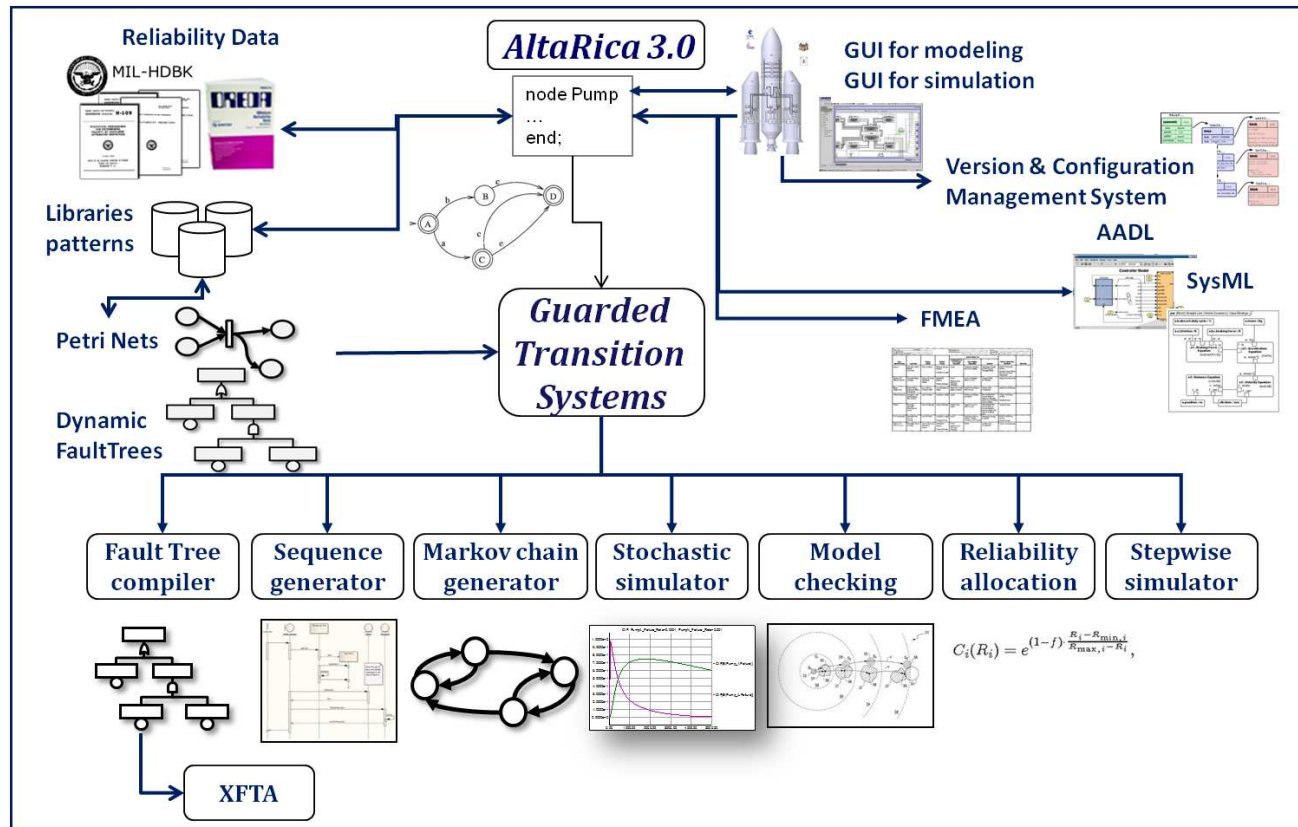
~> Plus de détails sur poster

1 2 3 4 5 6 7 8 9 10 11

Description. AltaRica est un langage pour analyser la sécurité de systèmes industriels. Project Altarica 3.0 : nouvelle version du langage + série d'outils.

Applications. Centrales nucléaires (Areva/EDF) ou chimiques, avions (Dassault), etc.

Standardisation. Open-PSA → Modèles plus transparents et de meilleure qualité. Exemple : compatibilité entre EDF et Areva pour les centrales nucléaires.



Description. XFTA est un système complet pour calculer des arbres de défaillance.

Applications. Méthode probabiliste populaire pour évaluer les risques de sécurité pour des systèmes industriels comme les centrales nucléaires ou chimiques, les avions, etc.

Auteur. Antoine RAUZY.

Licence. Gratuit d'usage et de redistribution : www.lix.polytechnique.fr/~rauzy

Fonctionnalités.

- Intègre le format d'échange de modèles Open-PSA.
- Calcul d'ensembles minimaux de coupure ;
implantation la plus efficace à l'heure actuelle.
- Calcul d'indicateurs de fiabilité pertinents : événements les plus probables, mesures d'importance, niveau de sécurité intégrée, etc.
- Analyse de sensibilité, dépendance par rapport au temps, etc.

Taille. \approx 20.000 lignes de code C++

Perspectives. Intégration dans différents outils libres et industriels.

Mathemagix. Nouveau système de calcul formel et analytique libre

- Algorithmes reflétant meilleurs complexités théoriques, bibliothèques actuellement en C++.
- Développement d'un nouveau langage haut niveau compilé et très efficace.
- Calcul mathématiquement exact avec objets de nature analytique.
- Collaboration avec l'équipe Galaad de Bernard MOURRAIN à Sophia.
- Environ 10 développeurs réguliers + 30 plus occasionnels.

GNU T_EX_{MACS}. Suite bureautique scientifique libre

- Traitement de texte mathématique structuré, wysiwyg, facile d'utilisation.
- Alternative plus conviviale pour T_EX/L^AT_EX (et *pas* basé sur ces logiciels).
- Interface pour des systèmes de calcul formel, dont Mathemagix.
- Outil de présentation, dessins graphiques, tableur, contrôle des versions, etc.
- Édition de documents avec une sémantique riche.
- Pour Windows, MacOS et dans la plupart des distributions GNU/Linux.
- Entre 1000 et 10000 utilisateurs réguliers.
- Environ 10 développeurs réguliers + 30 plus occasionnels.

Traitement de texte scientifique

在这个环境中可以方便地输入多行公式，比如：

$$\begin{array}{rcl} x + 0 & = & x \\ x + (-x) & = & 0 \\ x + y & = & y + x \\ (x + y) + z & = & x + (y + z) \end{array}$$

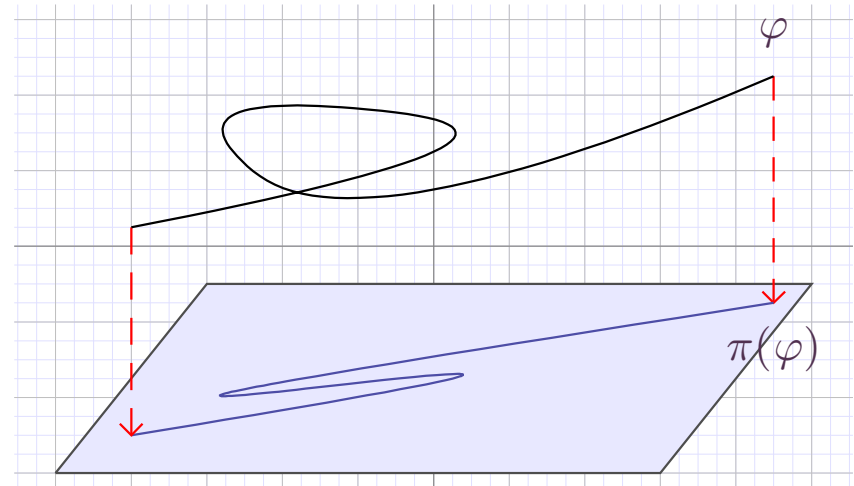
第一列右对齐，第二列居中，第三列左对齐。

LaTeX source \rightsquigarrow T_EX_{MACS} import

Tableur

$f(x)$	$\int f(x) dx$	(par Maxima)
x^{2014}	=integrate(a2,x)	
$\sin(x) x^2$	=integrate(a3,x)	
$\frac{x^2}{x^2 - x + 2}$	=integrate(a4,x)	

Graphiques



Présentations

Théorème 1

$$e^{\pi i} + 1 = 0.$$

- Premier point.

1 2 3 4 5 6 7 8 9 10 11

Traitement de texte scientifique

在这个环境中可以方便地输入多行公式，比如：

$$\begin{aligned} x + 0 &= x \\ x + (-x) &= 0 \\ x + y &= y + x \\ (x + y) + z &= x + (y + z) \end{aligned}$$

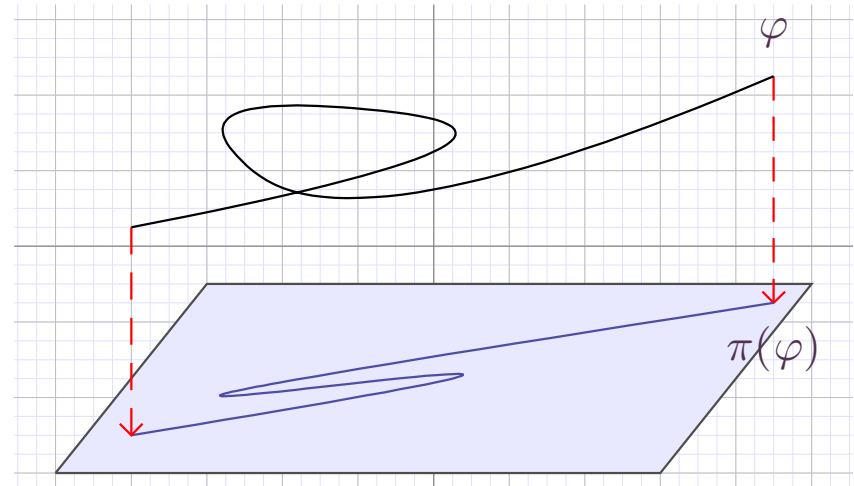
第一列右对齐，第二列居中，第三列左对齐。

LaTeX source \rightsquigarrow T_EX_{MACS} import

Tableur

$f(x)$	$\int f(x) dx$	(par Maxima)
x^{2014}	$\frac{x^{2015}}{2015}$	
$\sin(x) x^2$	<code>=integrate(a3,x)</code>	
$\frac{x^2}{x^2 - x + 2}$	<code>=integrate(a4,x)</code>	

Graphiques



Présentations

Théorème 2

$$e^{\pi i} + 1 = 0.$$

- Premier point.

1 2 3 4 5 6 7 8 9 10 11

Traitement de texte scientifique

在这个环境中可以方便地输入多行公式，比如：

$$\begin{aligned} x + 0 &= x \\ x + (-x) &= 0 \\ x + y &= y + x \\ (x + y) + z &= x + (y + z) \end{aligned}$$

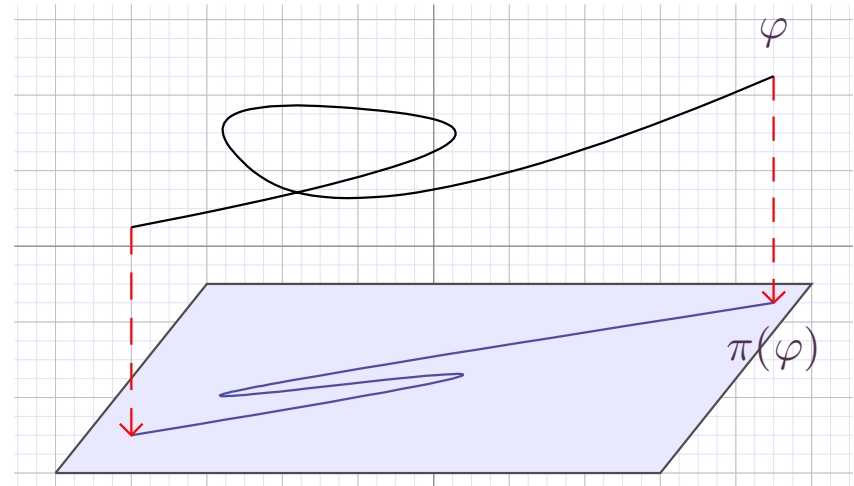
第一列右对齐，第二列居中，第三列左对齐。

LaTeX source \rightsquigarrow T_EX_{MACS} import

Tableur

$f(x)$	$\int f(x) dx$	(par Maxima)
x^{2014}	$\frac{x^{2015}}{2015}$	
$\sin(x) x^2$	$2x \sin(x) + (2 - x^2) \cos(x)$	
$\frac{x^2}{x^2 - x + 2}$	<code>=integrate(a4,x)</code>	

Graphiques



Présentations

Théorème 3

$$e^{\pi i} + 1 = 0.$$

- Premier point.

Traitement de texte scientifique

在这个环境中可以方便地输入多行公式，比如：

$$\begin{aligned}x + 0 &= x \\x + (-x) &= 0 \\x + y &= y + x \\(x + y) + z &= x + (y + z)\end{aligned}$$

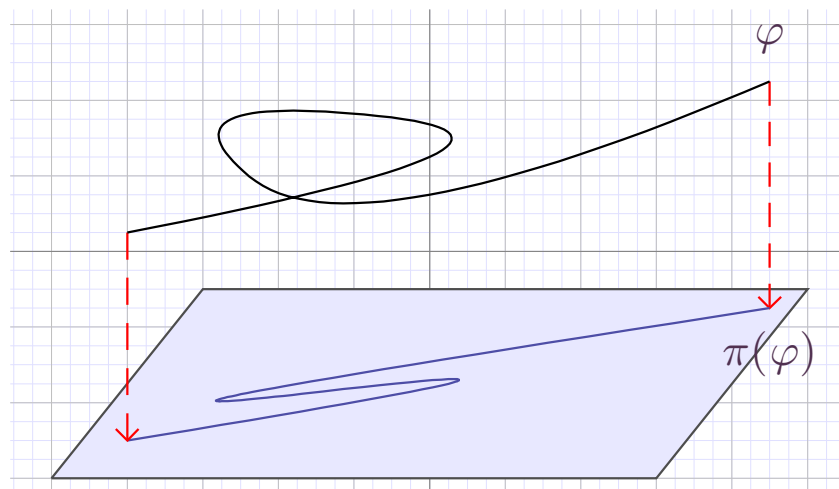
第一列右对齐，第二列居中，第三列左对齐。

LaTeX source \rightsquigarrow T_EX_{MACS} import

Tableur

$f(x)$	$\int f(x) dx$ (par Maxima)
x^{2014}	$\frac{x^{2015}}{2015}$
$\sin(x) x^2$	$2x \sin(x) + (2 - x^2) \cos(x)$
$\frac{x^2}{x^2 - x + 2}$	$-\frac{\log(x^2 - x + 2)}{2} + \frac{3 \arctan\left(\frac{2x-1}{\sqrt{7}}\right)}{\sqrt{7}} + x$

Graphiques



Présentations

Théorème 4

$$e^{\pi i} + 1 = 0.$$

- Premier point.

Traitement de texte scientifique

在这个环境中可以方便地输入多行公式，比如：

$$\begin{aligned}x + 0 &= x \\x + (-x) &= 0 \\x + y &= y + x \\(x + y) + z &= x + (y + z)\end{aligned}$$

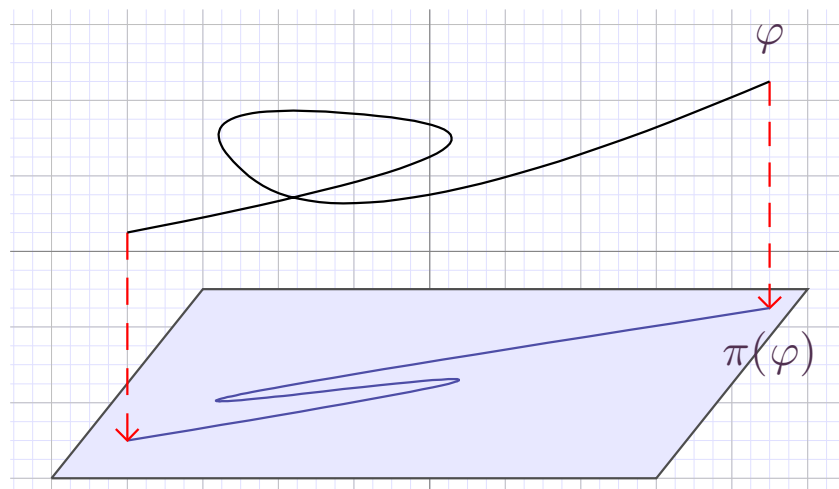
第一列右对齐，第二列居中，第三列左对齐。

LaTeX source \rightsquigarrow T_EX_{MACS} import

Tableur

$f(x)$	$\int f(x) dx$ (par Maxima)
x^{2014}	$\frac{x^{2015}}{2015}$
$\sin(x) x^2$	$2x \sin(x) + (2 - x^2) \cos(x)$
$\frac{x^2}{x^2 - x + 2}$	$-\frac{\log(x^2 - x + 2)}{2} - \frac{3 \arctan\left(\frac{2x-1}{\sqrt{7}}\right)}{\sqrt{7}} + x$

Graphiques



Présentations

Théorème 5
 $e^{\pi i} + 1 = 0.$

- Premier point.
- Deuxième point.

Traitement de texte scientifique

在这个环境中可以方便地输入多行公式，比如：

$$\begin{aligned}x + 0 &= x \\x + (-x) &= 0 \\x + y &= y + x \\(x + y) + z &= x + (y + z)\end{aligned}$$

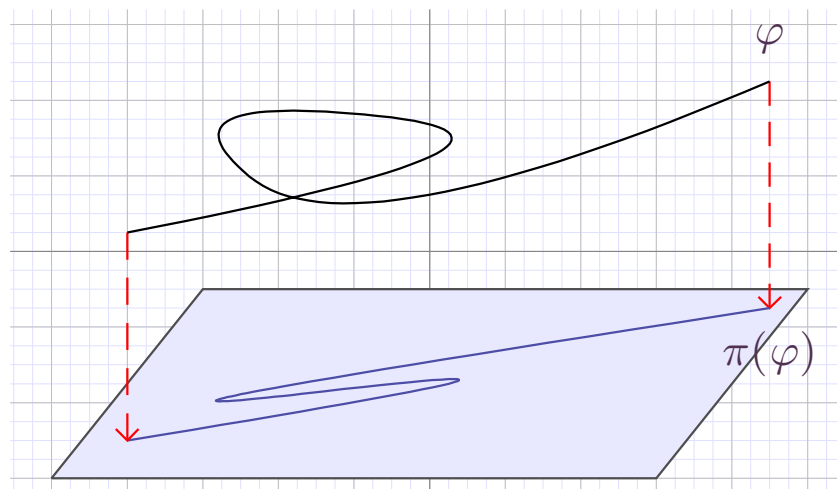
第一列右对齐，第二列居中，第三列左对齐。

LaTeX source \rightsquigarrow T_EX_{MACS} import

Tableur

$f(x)$	$\int f(x) dx$ (par Maxima)
x^{2014}	$\frac{x^{2015}}{2015}$
$\sin(x) x^2$	$2x \sin(x) + (2 - x^2) \cos(x)$
$\frac{x^2}{x^2 - x + 2}$	$-\frac{\log(x^2 - x + 2)}{2} - \frac{3 \arctan\left(\frac{2x-1}{\sqrt{7}}\right)}{\sqrt{7}} + x$

Graphiques



Présentations

Théorème 6

$$e^{\pi i} + 1 = 0.$$

- Premier point.
- Deuxième point.
- Formule animée :

1 2 3 4 5 6 7 8 9 10 11

↑ Combinatoire / Calcul exact

```
Mmx] use "algebramix"
```

```
Mmx] z == series (0, 1);
```

```
Mmx] Bell == exp (exp z - 1)
```

```
Mmx] Bell[400] * 400!
```

```
Mmx]
```

1 2 3 4 5 6 7 8 9 10 11

↑ Combinatoire / Calcul exact

```
Mmx] use "algebramix"
```

```
Mmx] z == series (0, 1);
```

```
Mmx] Bell == exp (exp z - 1)
```

$$1 + z + z^2 + \frac{5}{6}z^3 + \frac{5}{8}z^4 + \frac{13}{30}z^5 + \frac{203}{720}z^6 + \frac{877}{5040}z^7 + \frac{23}{224}z^8 + \frac{1007}{17280}z^9 + O(z^{10})$$

```
Mmx] Bell[400] * 400!
```

```
Mmx]
```


1 2 3 4 5 6 7 8 9 10 11

↑ Combinatoire / Calcul exact

Mmx] use "algebramix"**Mmx]** z == series (0, 1);**Mmx]** Bell == exp (exp z - 1)

$$1 + z + z^2 + \frac{5}{6}z^3 + \frac{5}{8}z^4 + \frac{13}{30}z^5 + \frac{203}{720}z^6 + \frac{877}{5040}z^7 + \frac{23}{224}z^8 + \frac{1007}{17280}z^9 + O(z^{10})$$

Mmx] Bell[400] * 400!

1282619952467693808788499896731628444957418124276782708829631806362427138557260647500\
0414936047907196150322022037441208409798299875412907196408101634218059444729523495730\
7849053136142262187198041697706618269675106032058766508219018191041025227154405239070\
7179743264726567903140255788736355688456454005848059732771097847042478196686453300787\
3008917637736948658520068825937627622632604714416166407460614496245034110917672514120\
3709382729161373603015443782173650486386564293580745397932788174532989368164802643511\
6839710497456441373535396577921371775778857359061404334885411862355600684059066741083\
48856252058415280107523359277443716405758698296515

Mmx]

1 2 3 4 5 6 7 8 9 10 11

↑ Combinatoire / Calcul numérique certifié

```
Mmx] use "analyziz"
```

```
Mmx] z == series (ball 0.0, ball 1.0);
```

```
Mmx] Bell == exp (exp z - 1)
```

```
Mmx] Bell[5000] * 5000!
```

```
Mmx]
```

1 2 3 4 5 6 7 8 9 10 11

↑ Combinatoire / Calcul numérique certifié

```
Mmx] use "analyziz"
```

```
Mmx] z == series (ball 0.0, ball 1.0);
```

```
Mmx] Bell == exp (exp z - 1)
```

```
1.000000000000000000 + 1.000000000000000000 z + 1.000000000000000000 z2 + 0.8333333333333333\
3333 z3 + 0.625000000000000000 z4 + 0.4333333333333333 z5 + 0.2819444444444444 z6 + 0.17400793\
650793651 z7 + 0.10267857142857143 z8 + 0.05827546296296296 z9 + O(z10)
```

```
Mmx] Bell[5000] * 5000!
```

```
Mmx]
```

1 2 3 4 5 6 7 8 9 10 11

↑ Combinatoire / Calcul numérique certifié

```
Mmx] use "analyziz"
```

```
Mmx] z == series (ball 0.0, ball 1.0);
```

```
Mmx] Bell == exp (exp z - 1)
```

```
1.000000000000000000 + 1.000000000000000000 z + 1.000000000000000000 z2 + 0.8333333333333333\
3333 z3 + 0.625000000000000000 z4 + 0.433333333333333333 z5 + 0.281944444444444444 z6 + 0.17400793\
650793651 z7 + 0.10267857142857143 z8 + 0.05827546296296296 z9 + O(z10)
```

```
Mmx] Bell[5000] * 5000!
```

```
7.98038229677e12543
```

```
Mmx]
```

1 2 3 4 5 6 7 8 9 10 11

↑ Résolution de systèmes polynomiaux

```
Mmx] use "geomsolvex"
```

```
Mmx] x == polynomial_dag (1 :> Rational, coordinate ('x));
```

```
Mmx] y == polynomial_dag (1 :> Rational, coordinate ('y));
```

```
Mmx] f1 == x^2 + y^2 - 1
```

```
Mmx] f2 == x^2 + x * y - 2
```

```
Mmx] geometric_solve_reduced_regular% ([f1, f2])
```

```
Mmx]
```

↓

1 2 3 4 5 6 7 8 9 10 11

↑ Résolution de systèmes polynomiaux

```
Mmx] use "geomsolvex"
```

```
Mmx] x == polynomial_dag (1 :> Rational, coordinate ('x));
```

```
Mmx] y == polynomial_dag (1 :> Rational, coordinate ('y));
```

```
Mmx] f1 == x^2 + y^2 - 1
```

$$x^2 + y^2 - 1$$

```
Mmx] f2 == x^2 + x * y - 2
```

```
Mmx] geometric_solve_reduced_regular% ([f1, f2])
```

```
Mmx]
```

↓

1 2 3 4 5 6 7 8 9 10 11

↑ Résolution de systèmes polynomiaux

```
Mmx] use "geomsolvex"
```

```
Mmx] x == polynomial_dag (1 :> Rational, coordinate ('x));
```

```
Mmx] y == polynomial_dag (1 :> Rational, coordinate ('y));
```

```
Mmx] f1 == x^2 + y^2 - 1
```

$$x^2 + y^2 - 1$$

```
Mmx] f2 == x^2 + x * y - 2
```

$$x^2 + x y - 2$$

```
Mmx] geometric_solve_reduced_regular% ([f1, f2])
```

```
Mmx]
```

↓

1 2 3 4 5 6 7 8 9 10 11

↑ Résolution de systèmes polynomiaux

```
Mmx] use "geomsolvex"
```

```
Mmx] x == polynomial_dag (1 :> Rational, coordinate ('x));
```

```
Mmx] y == polynomial_dag (1 :> Rational, coordinate ('y));
```

```
Mmx] f1 == x^2 + y^2 - 1
```

$$x^2 + y^2 - 1$$

```
Mmx] f2 == x^2 + x * y - 2
```

$$x^2 + x y - 2$$

```
Mmx] geometric_solve_reduced_regular% ([f1, f2])
```

```
lifting_fiber( $x^2 + y^2 - 1, x^2 + x y - 2, \begin{bmatrix} 1 & 0 \\ 0 & 1 \end{bmatrix}, [0, 0], [], x, x^4 - \frac{5}{2}x^2 + 2, 4x^3 - 5x, [5x^2 - 8, 3x^2 - 2]$ )
```

```
Mmx]
```

↓

1 2 3 4 5 6 7 8 9 10 11

↑ Résolution de systèmes polynomiaux

```
Mmx] use "geomsolvex"
```

```
Mmx] x == polynomial_dag (1 :> Rational, coordinate ('x));
```

```
Mmx] y == polynomial_dag (1 :> Rational, coordinate ('y));
```

```
Mmx] f1 == x^2 + y^2 - 1
```

$$x^2 + y^2 - 1$$

```
Mmx] f2 == x^2 + x * y - 2
```

$$x^2 + x y - 2$$

```
Mmx] geometric_solve_reduced_regular% ([f1, f2])
```

```
lifting_fiber( $x^2 + y^2 - 1, x^2 + x y - 2, \begin{bmatrix} 1 & 0 \\ 0 & 1 \end{bmatrix}, [0, 0], [], x, x^4 - \frac{5}{2}x^2 + 2, 4x^3 - 5x, [5x^2 - 8, 3x^2 - 2]$ )
```

```
Mmx]
```

↑

$$x = \frac{5t^2 - 8}{4t^3 - 5t}, \quad y = \frac{3t^2 - 2}{4t^3 - 5t}, \quad t^4 - \frac{5}{2}t^2 + 2$$